

## 改进的减轮E2算法中间相遇攻击

杜小妮<sup>\*①③</sup> 孙瑞<sup>①②</sup> 郑亚楠<sup>①</sup> 梁丽芳<sup>①</sup>

<sup>①</sup>(西北师范大学数学与统计学院 兰州 730070)

<sup>②</sup>(西北师范大学密码技术与数据分析重点实验室 兰州 730070)

<sup>③</sup>(甘肃省数学与统计学基础学科研究中心 兰州 730070)

**摘要:** E2算法是AES首轮征集的15个候选算法之一, 具有优良的软硬件实现效率和较强的安全性。该文利用多重集和差分枚举技术, 对E2算法进行中间相遇攻击。首先以E2-128为例, 改进了已有的4轮中间相遇区分器, 将5轮密钥恢复攻击预计算复杂度降低为 $2^{31}$ 次5轮算法加密。其次针对E2-256, 将所得区分器向后增加两轮, 构造了6轮中间相遇区分器, 并实现了9轮中间相遇攻击, 攻击所需的数据复杂度为 $2^{105}$ 个选择明文, 存储复杂度为 $2^{200}$  byte, 时间复杂度为 $2^{205}$ 次9轮算法加密。与现有对E2算法的安全性分析结果相比, 该文实现了对E2-256最长轮数的攻击。

**关键词:** 分组密码; E2算法; 中间相遇攻击; 差分枚举技术

**中图分类号:** TN918.2; TP309.7

**文献标识码:** A

**文章编号:** 1009-5896(2024)00-0001-08

**DOI:** 10.11999/JEIT230655

## Improved Meet-in-the-middle Attacks on Reduced-round E2

DU Xiaoni<sup>①③</sup> SUN Rui<sup>①②</sup> ZHENG Yanan<sup>①</sup> LIANG Lifang<sup>①</sup>

<sup>①</sup>(College of Mathematics and Statistic, Northwest Normal University, Lanzhou 730070, China)

<sup>②</sup>(Key Laboratory of Cryptography and Data Analytics, Northwest Normal University, Lanzhou 730070, China)

<sup>③</sup>(Gansu Provincial Research Center for Basic Disciplines of Mathematics and Statistics, Lanzhou 730070, China)

**Abstract:** E2 is one of the 15 candidate algorithms in the first round of AES, which has the characteristics of excellent software and hardware implementation efficiency and strong security. The meet-in-the-middle attacks on E2 are carried out in this paper by using multiset tabulation technique and differential enumeration technique. First, E2-128 is taken as an example to improve the existing 4-round meet-in-the-middle distinguisher, and the pre-computation complexity of 5-round key recovery attack is reduced to  $2^{31}$  5-round encryptions. Second, for E2-256, a 6-round distinguisher is constructed from the new 4-round distinguisher by extending two rounds backward, and then a 9-round meet-in-the-middle attack is presented, whose data complexity is  $2^{105}$  chosen plaintexts, memory complexity is  $2^{200}$  byte, and time complexity is  $2^{205}$  9-round encryptions. Compared with the existing security analysis results of E2, the scheme achieves the longest number of attack rounds for E2-256.

**Key words:** Block cipher; E2; Meet-in-the-middle attack; Differential enumeration technique

### 1 引言

随着射频识别技术和无线传感器等资源受限设

备的广泛应用, 其中的信息安全问题引起了人们的重视, 而轻量级分组密码算法LBlock<sup>[1]</sup>, FUTURE<sup>[2]</sup>和RAIN<sup>[3]</sup>等具有功耗低、效率高和占用资源小等特点, 符合在该类环境下应用的各项要求。目前对轻量级分组密码算法的安全性分析方法主要有差分分析<sup>[4]</sup>、线性分析<sup>[4]</sup>、不可能差分分析<sup>[5]</sup>和中间相遇攻击<sup>[3]</sup>等。

1977年, Diffie等人<sup>[6]</sup>首次提出了中间相遇攻击, 其思想是利用存储复杂度来降低攻击过程中所需的时间复杂度。尽管预计算阶段只需计算1次存储复杂度, 但若涉及的密钥过多, 则会超过穷举复

收稿日期: 2023-07-03; 改回日期: 2023-12-20; 网络出版: 2024-02-04

\*通信作者: 杜小妮 ymldxn@126.com

基金项目: 甘肃省自然科学基金重点资助项目(23JRRA685), 国家自然科学基金(62172337), 甘肃省基础研究创新群体项目(23JRRA684)

Foundation Items: The Key Project of Gansu Natural Science Foundation (23JRRA685), The National Natural Science Foundation of China (62172337), The Funds for Innovative Fundamental Research Group Project of Gansu Province (23JRRA684)

杂度,因此学者们致力于减少需要猜测的密钥量和预计算阶段的参数个数,以保证在时间复杂度较低的情况下尽可能降低存储复杂度。Dunkelman等人<sup>[7]</sup>和Shi等人<sup>[8]</sup>运用中间相遇攻击思想,并结合多重集、差分枚举和密钥桥技术,对分组密码AES<sup>[4]</sup>,MIBS<sup>[9]</sup>,TWINE<sup>[10]</sup>和Joltik-BC<sup>[11]</sup>等进行安全性分析时均取得了很好的效果。

E2算法<sup>[12]</sup>是日本NTT公司设计的一种分组密码,其分组长度为128 bit,支持的密钥长度包括128,192和256 bit,分别记为E2-128,E2-192和E2-256。由于轮函数采用SPS结构,加大了分析难度,因而对该算法的安全性分析较少,主要集中为截断差分攻击<sup>[13]</sup>和不可能差分攻击<sup>[14]</sup>。2015年,官等人<sup>[15]</sup>首次在不考虑初始和末端变换的前提下,对E2-128和E2-256分别进行了5轮和6轮的中间相遇攻击,但攻击轮数较少且预计算复杂度较高。本文受文献<sup>[9]</sup>启发,改进了E2算法的中间相遇攻击,因分析时不考虑密钥扩展方案,故该算法所有版本分析过程一致。主要贡献如下:

(1) 利用多重集和差分枚举技术,结合算法截断差分性质,改进了文献<sup>[15]</sup>的4轮中间相遇区分器,将6个字节决定的后续字节,降为由4个字节决定,并以E2-128为例实现了5轮密钥恢复攻击,使得预计算复杂度由 $2^{48}$ 降低为 $2^{31}$ 次5轮算法加密;

(2) 构造了新的6轮中间相遇区分器,所需参数仅为24个,保证了在预计算阶段复杂度较低,是目前已知的最好结果;

(3) 将(2)所得区分器向前扩展1轮,向后扩展2轮,实现了9轮E2-256中间相遇攻击,攻击轮数相较于文献<sup>[15]</sup>增加4轮,是目前已知的对E2-256最长轮数的攻击,所需数据复杂度为 $2^{105}$ 个选择明文,存储复杂度为 $2^{200}$  byte,时间复杂度为 $2^{205}$ 次9轮算法加密。

本文结构安排如下:第2节给出必要的符号说明,并简要介绍E2算法及中间相遇攻击的相关定义及性质;第3节改进已有的4轮中间相遇区分器,并进行5轮E2-128中间相遇攻击;第4节构造6轮中间相遇区分器,并进行9轮E2-256的中间相遇攻击;第5节总结全文。

## 2 预备知识

本节首先对所涉及的符号进行说明,其次描述E2算法加密流程及其轮函数,最后介绍中间相遇攻击的相关知识。

### 2.1 符号说明

$M, C$  明文,密文

$L_i, R_i$  第 $i$ 轮左支,右支64 bit输入

$R_i[a]$   $R_i$ 的第 $a$ 个字节遍历,其他字节固定,  $1 \leq a \leq 8$

$R_i^j[a]$   $R_i[a]$ 的第 $j$ 个取值,  $0 \leq j \leq 255$

$\Delta R_i^j[a]$  状态差分 $R_i^j[a] \oplus R_i^0[a]$

$K^{(l)}$  第 $l$ 次轮密钥加操作,  $l = 1, 2$

$X_i, Y_i, Z_i$  第 $i$ 轮经过 $K^{(1)}$ ,第1个S盒,P置换的输出

$X_i', Y_i', Z_i'$  第 $i$ 轮经过 $K^{(2)}$ ,第2个S盒,字节置换BRL的输出

$X[a]$  向量 $X$ 的第 $a$ 个字节

### 2.2 E2算法介绍

E2算法整体采用Feistel结构,分组长度为128 bit,迭代轮数为12轮。如图1所示,明文 $M$ 在经过初始变换IT、12轮迭代变换以及末端变换FT后得到密文 $C$ ,其中 $RK_1$ 和 $RK_2$ 是IT变换轮密钥, $RK_3$ 和 $RK_4$ 是FT变换轮密钥。具体步骤如下:

(1) 128 bit的明文 $M$ 经过初始变换IT,得到 $IT(M)$ 。

(2) 令 $IT(M) = L_1 \parallel R_1$ ,其中 $L_1, R_1$ 分别为 $IT(M)$ 的左支,右支各64 bit。将 $L_1 \parallel R_1$ 按照如下方式迭代12轮,得到 $L_{13} \parallel R_{13}$ 。

$$\begin{cases} L_{i+1} = R_i, \\ R_{i+1} = L_i \oplus F(R_i, K_i), \end{cases} \quad 1 \leq i \leq 12,$$

其中 $F$ 表示轮函数, $K_i = K_i^{(1)} \parallel K_i^{(2)}$  ( $1 \leq i \leq 12$ )表示第 $i$ 轮的轮密钥。

(3) 对 $R_{13} \parallel L_{13}$ 应用末端变换FT,得到密文 $C = FT(R_{13} \parallel L_{13})$ 。

轮函数 $F$ 为 $BRL \circ S \circ K^{(2)}(K_i^{(2)}, P \circ S \circ K^{(1)}(K_i^{(1)}, R_i))$ ,P置换表示为

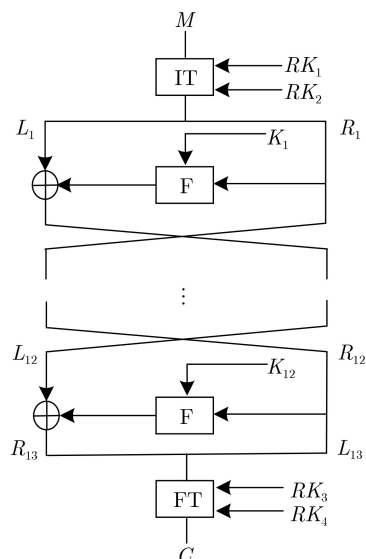


图1 E2算法加密流程

$$(Z_i[1], Z_i[2], \dots, Z_i[8])^T = P \cdot (Y_i[1], Y_i[2], \dots, Y_i[8])^T$$

其中,

$$P = \begin{pmatrix} 0 & 1 & 1 & 1 & 1 & 1 & 1 & 0 \\ 1 & 0 & 1 & 1 & 0 & 1 & 1 & 1 \\ 1 & 1 & 0 & 1 & 1 & 0 & 1 & 1 \\ 1 & 1 & 1 & 0 & 1 & 1 & 0 & 1 \\ 1 & 1 & 0 & 1 & 1 & 1 & 0 & 0 \\ 1 & 1 & 1 & 0 & 0 & 1 & 1 & 0 \\ 0 & 1 & 1 & 1 & 0 & 0 & 1 & 1 \\ 1 & 0 & 1 & 1 & 1 & 0 & 0 & 1 \end{pmatrix}.$$

字节置换BRL为

$$\text{BRL: } \mathbb{F}_{2^8}^8 \rightarrow \mathbb{F}_{2^8}^8: (Z'_i[1], Z'_i[2], \dots, Z'_i[8]) \rightarrow (Y'_i[2], Y'_i[3], \dots, Y'_i[1])$$

显然有

$$\text{BRL}^{-1}: \mathbb{F}_{2^8}^8 \rightarrow \mathbb{F}_{2^8}^8: (Y'_i[1], Y'_i[2], \dots, Y'_i[8]) \rightarrow (Z'_i[8], Z'_i[1], \dots, Z'_i[7])$$

因分析过程中未用到E2算法的密钥扩展方案和IT、FT变换, 故不再详述。具体可参考文献[12]。

### 2.3 中间相遇攻击

**性质1** (S盒的性质)<sup>[16]</sup>给定S盒的非零输入差分 $\Delta_{in}$ 和输出差分 $\Delta_{out}$ , 方程 $S(x) \oplus S(x \oplus \Delta_{in}) = \Delta_{out}$ 平均有一个解。

**定义1** 称允许元素出现多次且不计顺序的集合为多重集。

**定义2** 若E2-128的某个字节遍历256个值, 其他15 byte取固定值, 称这样的结构为 $\delta$ -集, 其中, 遍历256个值的字节为活跃字节, 其余为非活跃字节。

若攻击过程中涉及的多重集参数多, 则预计算阶段需要较大的存储空间, 为降低预计算阶段存储复杂度, 引入性质2。

**性质2** (多重集的存储)<sup>[16]</sup>任给一个含有256个字节的集合, 其所有可能的取值数量为 $2^{506.17}$ , 而存储这些可能的多重集仅需要512 bit。

中间相遇攻击是一种选择明文攻击, 其攻击原理为: 将加密过程分解成两部分, 首先根据构造的区分器选择明文, 并对明文进行加密得到对应的密文; 其次猜测相关密钥, 加密明文对和解密密文对的若干字节或比特, 判断是否构成中间数据的碰撞, 若碰撞成功, 则猜测密钥是正确的, 否则为错误密钥, 需排除。具体描述如下:

将加密过程分解成 $E_1$ 和 $E_2$ 两个部分, 假设其对应的密钥分别为 $K'_1$ 和 $K'_2$ , 则加密算法可表示成 $C = E_2(E_1(M, K'_1), K'_2)$ , 攻击过程为:

(1) 对每一个选择明文 $M$ , 计算 $E_1(M, K'_1)$ , 将结果存储起来;

(2) 将明文 $M$ 所对应的密文 $C$ 用所猜测的密钥 $K'_2$ 进行部分解密, 得 $E_2^{-1}(C, K'_2)$ ;

(3) 验证 $E_1(M, K'_1) = E_2^{-1}(C, K'_2)$ 是否成立, 若成立, 则表明 $(K'_1, K'_2)$ 为正确密钥, 否则为错误密钥, 需排除。

重复以上步骤, 过滤所有错误密钥, 最终得到正确密钥。

## 3 5轮E2-128的中间相遇攻击

本节利用多重集和差分枚举技术改进已有的4轮中间相遇区分器, 并以E2-128为例进行5轮密钥恢复攻击, 有效地降低预计算复杂度。

### 3.1 改进的4轮中间相遇区分器

在文献[15]中, E2-128的 $\Delta R_4[7]$ 由6个字节完全确定, 本节通过对E2-128结构分析发现, 仅利用4个字节可得到文献[15]中的4轮中间相遇区分器, 从而改进了区分器, 具体见定理1。图2给出了相关截断差分路径, 其中“\*”表示任意非0字节, “?”表示未知字节。

**定理1** 若 $\delta$ -集的活跃字节为 $R_2[8]$ , 则经过4轮加密后得到的多重集 $\Delta \mathcal{R}_4[7] := \{R_4^0[7] \oplus R_4^0[7], R_4^1[7] \oplus R_4^0[7], \dots, R_4^{255}[7] \oplus R_4^0[7]\}$ 完全由 $X_2[8], X'_2[2], X_3[1], X'_3[8]$ 决定。

证明: 由于 $R_2[8]$ 遍历 $2^8$ 个所有可能状态值, 则 $\{\Delta R_2^0, \Delta R_2^1, \dots, \Delta R_2^{255}\}$ 遍历 $2^8$ 个无序状态, 经过密钥异或得到 $\{\Delta X_2^0, \Delta X_2^1, \dots, \Delta X_2^{255}\}$ , 因而有:

(1) 若已知 $X_2[8]$ , 则 $\Delta X_2[8]$ 经过S盒后得 $\Delta Y_2[8] = S(X_2[8]) \oplus S(\Delta X_2[8] \oplus X_2[8])$ , 经过P置换得到 $\Delta Z_2[2, 3, 4, 7, 8]$ , 即活跃字节为第2, 3, 4, 7, 8 byte; 若已知 $X'_2[2]$ , 由于 $\Delta X'_2[2] = \Delta Z_2[2]$ , 同理经过S盒和BRL置换可得 $\Delta Z'_2[1]$ ;

(2) 若已知 $X_3[1]$ , 由于 $\Delta X_3[1] = \Delta R_3[1] = \Delta Z'_2[1] \oplus \Delta R_1[1] = \Delta Z'_2[1]$ , 同理可得 $\Delta Z_3[2, 3, 4, 5, 6, 8]$ ;

(3) 若已知 $X'_3[8]$ , 因为 $\Delta X'_3[8] = \Delta Z_3[8]$ , 同理可得 $\Delta Z'_3[7]$ ; 由图2可知 $\Delta R_2 = (0000000*)$ , 故 $\Delta R_4[7] = \Delta Z'_3[7]$ 。

由以上分析可知多重集 $\Delta \mathcal{R}_4[7]$ 完全由 $X_2[8], X'_2[2], X_3[1], X'_3[8]$ 决定。证毕

### 3.2 5轮E2-128的中间相遇攻击

基于3.1得到的4轮区分器, 本节进行5轮E2-128中间相遇攻击, 具体见图3, 其中 $e$ 表示活跃字节。

利用文献[15]的方法, 计算5轮密钥恢复攻击的复杂度, 主要可分为如下两个阶段。

预计算阶段: 预计算复杂度为 $12 \times 4 \times (2^8)^4 / (16 \times 5) \approx 2^{31}$ 次5轮算法加密; 存储复杂度为 $2^{32+8} = 2^{40}$  byte。

在线阶段：数据复杂度为12个选择明文；时间复杂度为 $12 \times 2^{6 \times 8} \times 6 / (16 \times 5) \approx 2^{47.9}$ 次5轮算法加密。

相较于文献[15]，改进的4轮中间相遇区分器中 $\Delta R_4[7]$ 仅由4个字节完全确定，在进行5轮E2-128密钥恢复攻击时，预计算复杂度得到了有效降低，具体攻击结果对比见表1。

### 4 9轮E2-256的中间相遇攻击

本节主要构造6轮中间相遇区分器，并进行9轮

密钥恢复攻击以及复杂度分析。由于9轮密钥恢复攻击最终的时间复杂度为 $2^{205}$ 次9轮加密，超过了E2-128和E2-192穷举攻击的时间复杂度，所以本节仅讨论E2-256的9轮中间相遇攻击。

#### 4.1 6轮中间相遇区分器

基于3.1节得到的4轮中间相遇区分器，向后增加2轮，构造6轮中间相遇区分器，具体截断差分路径见图4。类似地，有如下定理。

**定理2** 若 $\delta$ -集的活跃字节为 $R_2[8]$ ，则经过

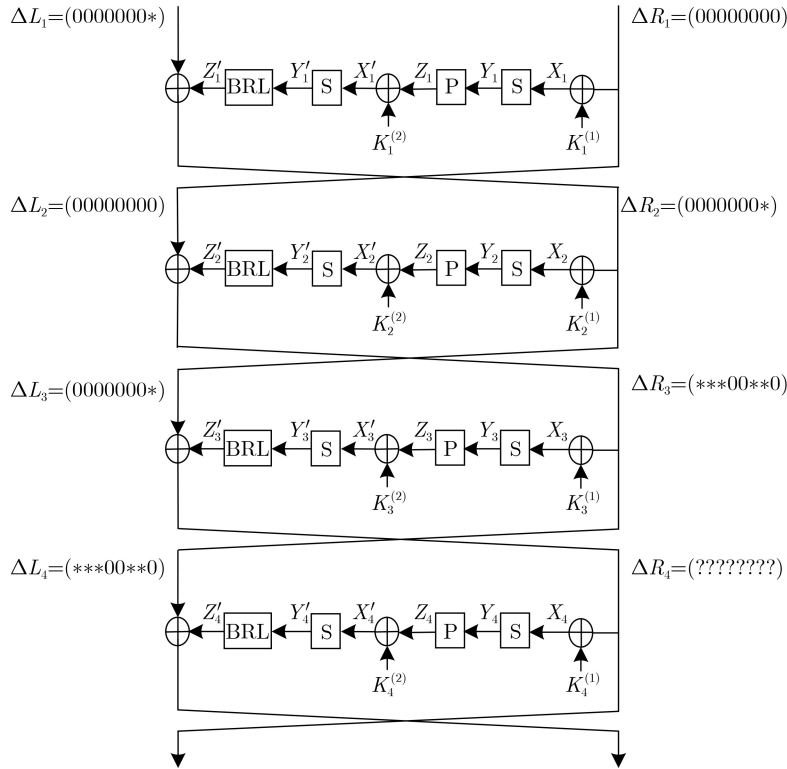


图 2 4轮E2-128中间相遇区分器

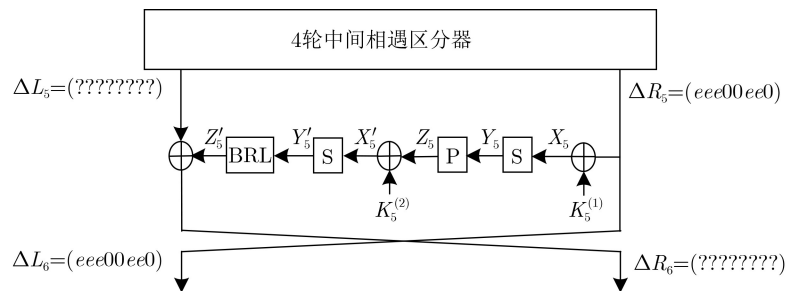


图 3 5轮E2-128中间相遇攻击

表 1 E2算法攻击结果对比

来源	攻击方法	算法版本	轮数	时间复杂度	预计算复杂度	数据复杂度
文献[13]	截断差分	E2-128/E2-128	7/8	-	-	$2^{91}/2^{94}$
文献[14]	不可能差分	E2-128/E2-256	7/8	$2^{115.5}/2^{214}$	-	$2^{120}/2^{121}$
文献[15]	中间相遇攻击	E2-128	5	$2^{48}$	$2^{48}$	14
本文	中间相遇攻击	E2-128	5	$2^{47.9}$	$2^{31}$	12
本文	中间相遇攻击	E2-256	9	$2^{205}$	$2^{200.6}$	$2^{105}$

6轮加密后得到的多重集  $\Delta\mathfrak{R}_6[7] := \{R_6^0[7] \oplus R_6^0[7], R_6^1[7] \oplus R_6^0[7], \dots, R_6^{255}[7] \oplus R_6^0[7]\}$  完全由  $X_2[8], X_2'[2, 3, 4, 7, 8], X_3[1, 2, 3, 6, 7], X_3', X_4, X_4'[1], X_5[8], X_5'[8]$  共30个字节决定。

证明：若已知  $X_2[8]$ ，由定理1的证明过程可得  $\Delta Z_2[2, 3, 4, 7, 8]$ 。

(1) 若已知  $X_2'[2, 3, 4, 7, 8]$ ，因为  $\Delta X_2'[2, 3, 4, 7, 8] = \Delta Z_2[2, 3, 4, 7, 8]$ ，则经过S盒后可得差分  $\Delta Y_2'[2, 3, 4, 7, 8]$ ，经过BRL置换，可得  $\Delta Z_2'[1, 2, 3, 6, 7]$ ；

(2) 若已知  $X_3[1, 2, 3, 6, 7]$ ，由于  $\Delta X_3[1, 2, 3, 6, 7] = \Delta R_3[1, 2, 3, 6, 7] = \Delta R_1[1, 2, 3, 6, 7] \oplus \Delta Z_2'[1, 2, 3, 6, 7]$ ，与(1)证明类似，可得  $\Delta X_3' = \Delta Z_3$ ；若已知  $X_3'$ ，同理可得  $\Delta Z_3$ ；

(3) 若已知  $X_4$ ，由于  $\Delta X_4 = \Delta R_4 = \Delta R_2 \oplus \Delta Z_3'$ ，同理可得  $\Delta X_4' = \Delta Z_4$ ；若已知  $X_4'[1]$ ，可得

$\Delta Z_4'[8]$ ；

(4) 若已知  $X_5[8]$ ，因  $\Delta X_5[8] = \Delta R_5[8] = \Delta R_3[8] \oplus \Delta Z_4'[8]$ ，同理可得  $\Delta X_5'[2, 3, 4, 7, 8] = \Delta Z_5[2, 3, 4, 7, 8]$ ；

(5) 若已知  $X_5'[8]$ ，可得  $\Delta Z_5'[7]$ ，更进一步地，由图4可知  $\Delta R_6[7] = \Delta X_4[7] \oplus \Delta Z_5'[7]$ 。

由以上分析可知多重集  $\Delta\mathfrak{R}_6[7]$  完全由上述30个字节决定。证毕

为降低预计算阶段的复杂度，我们利用性质1将区分器参数个数减少到24个字节，具体见定理3。

**定理3** 若对定理2中的  $\delta$ -集进行6轮加密(如图4)，则多重集  $\Delta\mathfrak{R}_6[7]$  仅由  $\Delta X_2[8], \Delta Y_2[8], \Delta Y_2'[2, 3, 4, 7, 8], \Delta Y_3[1, 2, 3, 6, 7], \Delta X_4[1, 2, 3, 6, 7], \Delta Y_4[1, 2, 3, 6, 7], \Delta X_5[8], \Delta Y_5[8]$  共24个字节决定。

证明：只需证明定理2的30个字节可由定理3的24个字节推出。证明分为以下5个步骤：

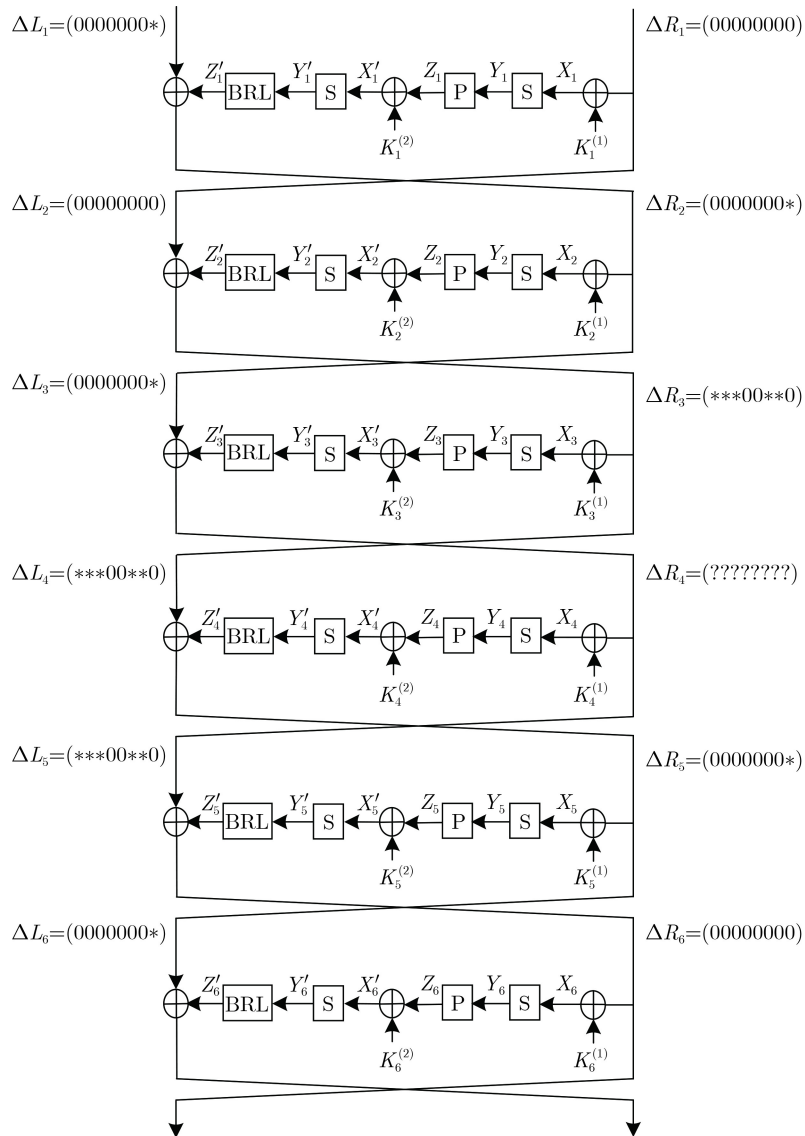


图 4 6轮E2-256中间相遇区分器

(1) 若已知 $\Delta X_2[8]$ 和 $\Delta Y_2[8]$ , 利用性质1, 可得 $X_2[8]$ ;

(2) 若已知 $\Delta Y_2'[2, 3, 4, 7, 8]$ , 由于 $\Delta X_2'[2, 3, 4, 7, 8] = \Delta Z_2[2, 3, 4, 7, 8] = P(\Delta Y_2[8])$ , 利用性质1, 可得 $X_2'[2, 3, 4, 7, 8]$ ;

(3) 若已知 $\Delta Y_3[1, 2, 3, 6, 7]$ , 由 $\Delta R_1 = (00000000)$ 可知 $\Delta X_3[1, 2, 3, 6, 7] = \text{BRL}(\Delta Y_2'[2, 3, 4, 7, 8])$ , 同理, 可得 $X_3[1, 2, 3, 6, 7]$ 并且有 $\Delta X_3' = \Delta Z_3 = P(\Delta Y_3[1, 2, 3, 6, 7])$ ;

(4) 若已知 $\Delta X_4[1, 2, 3, 6, 7]$ 和 $\Delta Y_4[1, 2, 3, 6, 7]$ , 则有:

(a) 由 $\Delta R_6 = (00000000)$ 可知,  $\Delta X_4 = \Delta Z_5' = (**00*0)$ , 利用性质1可得 $X_4$ ;

(b) 同理, 由于 $\Delta Y_3' = \text{BRL}^{-1}(\Delta R_2 \oplus \Delta R_4) = \text{BRL}^{-1}(\Delta X_2 \oplus \Delta X_4)$ , 可得 $X_3'$ ;

(c)  $\Delta X_4'[1, 2, 3, 6, 7] = \Delta Z_4[1, 2, 3, 6, 7] = P(\Delta Y_4[7])$ ,  $\Delta Y_5'[2, 3, 4, 7, 8] = \text{BRL}^{-1}(\Delta Z_5'[1, 2, 3, 6, 7]) = \text{BRL}^{-1}(\Delta X_4[1, 2, 3, 6, 7])$ ;

(5) 若已知 $\Delta X_5[8]$ 和 $\Delta Y_5[8]$ , 由 $\Delta R_3 = (**00*0)$ 可知 $\Delta Y_4'[1] = \text{BRL}^{-1}(\Delta Z_4'[8]) = \text{BRL}^{-1}(\Delta X_5[8])$ , 此外, 利用性质1及(c)得到的 $\Delta X_4'[1]$ , 可得 $X_4'[1]$ 和 $X_5[8]$ ; 又因为 $\Delta X_5'[2, 3, 4, 7, 8] = \Delta Z_5[2, 3, 4, 7, 8] = P(\Delta Y_5[8])$ , 同理, 由(c)得到的 $\Delta Y_5'[2, 3, 4, 7, 8]$ 可得 $X_5'[8]$ .

综上, 多重集 $\Delta \mathcal{R}_6[7]$ 仅由24个字节决定, 相较于定理2, 参数个数减少了6个字节。证毕

#### 4.2 9轮E2-256的中间相遇攻击

利用4.1节构造的6轮中间相遇区分器, 向前扩展1轮, 向后扩展2轮, 实现了9轮E2-256中间相遇攻击, 具体攻击过程见图5, 其中 $\alpha, \beta, e$ 和 $\gamma$ 均为活跃字节, 攻击所需数据复杂度为 $2^{105}$ 个选择明文, 存储复杂度为 $2^{200}$  byte, 时间复杂度为 $2^{205}$ 次9轮算法加密。

中间相遇攻击由两个阶段组成: 预计算阶段和在线阶段。

预计算阶段: 穷举定理3的24个字节, 共有 $2^{192}$ 个参数值, 即得到 $2^{192}$ 个多重集, 并将其存储在Hash表T中。

在线阶段: 首先找到满足图5截断差分路径的明文对; 其次构造包含明文对的 $\delta$ -集; 最后猜测涉及的轮密钥并得到 $\Delta R_7[7]$ 所对应的多重集, 检验其是否存在于Hash表T中, 若存在, 则猜测密钥是正确密钥, 否则为错误密钥。具体步骤如下:

(1) 选择满足图5差分形式的明文对, 即 $\Delta L_1 = (\beta\beta\beta 00\beta\beta 0)$ ,  $\Delta R_1 = (0000000\alpha)$ , 故一个明文结构有 $2^{2 \times 8} = 2^{16}$ 种可能取值, 即有 $2^{16} \times (2^{16} - 1)/2 \approx$

$2^{31}$ 对明文差分, 由于满足截断差分特征的概率为 $2^{-(5+5+2+3) \times 8} = 2^{-120}$ , 因此需选取 $2^{120-31} = 2^{89}$ 个明文结构, 共有 $2^{89+16} = 2^{105}$ 个选择明文。

(2) 因为 $\Delta X_9 = \Delta R_9 = (eee00ee0)$ , 故只需猜测密钥 $K_9^{(1)}[1, 2, 3, 6, 7]$ , 可得 $\Delta X_9[1, 2, 3, 6, 7]$ , 进而可得 $\Delta Y_9[1, 2, 3, 6, 7]$ ; 同理猜测密钥 $K_9^{(2)}$ , 得到 $\Delta Z_9$ ; 筛选满足 $\Delta Z_9[1, 2, 3, 6, 7] = P(\Delta Y_9[6])$ 的明文对 $(L_1 \parallel R_1)$ 。

(3) 利用步骤(2)筛选出的明文对构造相应的 $\delta$ -集。首先猜测密钥 $K_1^{(1)}[8]$ , 得到 $X_1[8]$ ; 令 $X_1^*[8] = X_1[8] \oplus \alpha, \alpha \in [0, 255]$ , 该活跃字节遍历 $2^8$ 个所有可能值, 满足区分器中定义的 $\delta$ -集。

(4) 由于 $\Delta Z_1[2, 3, 4, 7, 8] = P(\Delta Y_1[8]) = P(S(X_1[8]) \oplus S(X_1^*[8]))$ , 猜测密钥 $K_1^{(2)}[2, 3, 4, 7, 8]$ , 可得 $\Delta Z_1'[1, 2, 3, 6, 7]$ ; 又根据算法结构, 可得 $\Delta L_1[1, 2, 3, 6, 7]$ , 进而有 $L_1^* = L_1 \oplus \Delta L_1$ ,  $R_1^* = R_1 \oplus \Delta R_1$ , 因此可利用步骤(3)得到的 $\delta$ -集求出所有的明文集, 加密得到对应的密文集。

(5) 选择步骤(4)得到的任一明文对 $(L_1 \parallel R_1, L_1^* \parallel R_1^*)$ 和对应的密文对 $(L_{10} \parallel R_{10}, L_{10}^* \parallel R_{10}^*)$ , 猜测密钥 $K_8^{(1)}[1, 3, 4, 5, 8]$ , 可得 $\Delta Y_8[1, 3, 4, 5, 8]$ , 又由P置换可得 $\Delta Z_8[8] = \Delta Y_8[1] \oplus \Delta Y_8[3] \oplus \Delta Y_8[4] \oplus \Delta Y_8[5] \oplus \Delta Y_8[8]$ , 则猜测密钥 $K_8^{(2)}[8]$ , 经过BRL置换可得 $\Delta Z_8'[7]$ 。

(6) 由算法结构可知 $\Delta R_7[7] = \Delta X_9[7] \oplus \Delta Z_8'[7]$ , 因 $\Delta X_9[7]$ 和 $\Delta Z_8'[7]$ 分别可由步骤(2)和步骤(5)给出, 故而可得多重集 $\Delta \mathcal{R}_7[7] := \{R_7^0[7] \oplus R_7^1[7], R_7^2[7] \oplus R_7^3[7], \dots, R_7^{255}[7] \oplus R_7^0[7]\}$ 。判断多重集是否与预计算阶段Hash表T发生碰撞, 若碰撞成功则恢复出正确密钥。

综上, 在攻击过程中需要猜测的密钥为 $K_1^{(1)}[8]$ ,  $K_1^{(2)}[2, 3, 4, 7, 8]$ ,  $K_8^{(1)}[1, 3, 4, 5, 8]$ ,  $K_8^{(2)}[8]$ ,  $K_9^{(1)}[1, 2, 3, 6, 7]$ 和 $K_9^{(2)}$ , 即通过猜测 $25 \times 8 = 200$  bit密钥, 可得 $2^{200}$ 个多重集。由性质2可知, 多重集共有 $2^{506.17}$ 种取法, 则错误密钥形成碰撞的概率为 $2^{200} \times 2^{-506.17} \approx 0$ 。因此碰撞成功的密钥为正确密钥。

#### 4.3 攻击复杂度分析

攻击复杂度的分析过程如下:

预计算阶段: 构造Hash表T需要的预计算复杂度为 $2^{192} \times 2^8 \times 6/9 \approx 2^{200.6}$ 次9轮加密; 存储复杂度为 $2^{192+8} = 2^{200}$  byte。

在线阶段: 由于4.2中步骤(1)需要加密 $2^{105}$ 个选择明文, 则数据复杂度为 $2^{105}$ 个选择明文。

对于时间复杂度, 加密 $2^{105}$ 个选择明文需要 $2^{105}$ 次9轮加密; 同时密钥恢复阶段需猜测200 bit

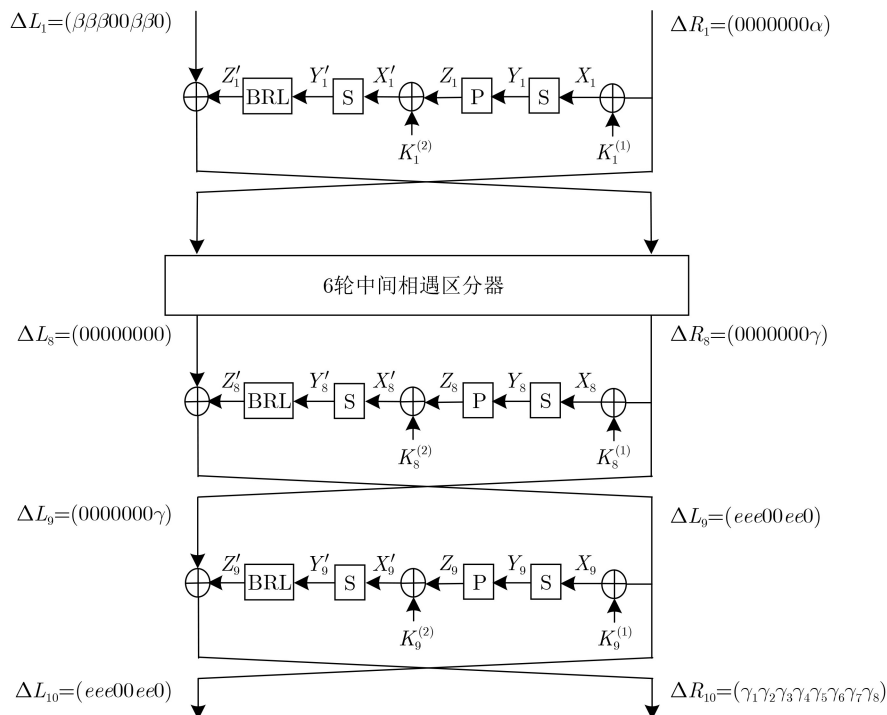


图 5 9轮E2-256中间相遇攻击

密钥，所需时间复杂度约为  $2^{200} \times 2^8 \times 2^{-3} = 2^{205}$  次9轮加密，故总的时间复杂度约为  $2^{105} + 2^{205} \approx 2^{205}$  次9轮加密。

综上所述，该攻击的预计算复杂度为  $2^{200.6}$  次9轮加密，数据复杂度为  $2^{105}$  个选择明文，存储复杂度为  $2^{200}$  byte，时间复杂度为  $2^{205}$  次9轮加密。与已有的攻击结果对比见表1。

## 5 结束语

本文对减轮E2算法进行了中间相遇攻击。首先改进了已有的4轮中间相遇区分器，进行了5轮E2-128密钥恢复攻击；其次将4轮区分器向后增加两轮，构造了6轮中间相遇区分器，结合算法S盒性质、多重集以及差分枚举技术，减少了6轮区分器所需的参数个数，首次实现了9轮E2-256的中间相遇攻击。研究表明，本文实现了目前已知对E2-256最长轮数的攻击。

后续研究方向/计划：(1) 进一步寻找降低中间相遇攻击预计算阶段存储复杂度的方法；(2) 将中间相遇攻击与其他传统分析方法相结合，增加区分器/攻击轮数或降低时间/存储复杂度。

## 参考文献

[1] WU Wenling and ZHANG Lei. LBlock: A lightweight block cipher[C]. Proceedings of the 9th International Conference on Applied Cryptography and Network Security, Nerja, Spain, 2011: 327–344. doi: [10.1007/978-3-642-21554-4\\_19](https://doi.org/10.1007/978-3-642-21554-4_19).

[2] GUPTA K C, PANDEY S K, and SAMANTA S.

FUTURE: A lightweight block cipher using an optimal diffusion matrix[C]. Proceedings of the 13th International Conference on Cryptology in Africa, Fes, Morocco, 2022: 28–52. doi: [10.1007/978-3-031-17433-9\\_2](https://doi.org/10.1007/978-3-031-17433-9_2).

- [3] 杜小妮, 郑亚楠, 梁丽芳, 等. RAIN-128算法的中间相遇攻击[J]. 电子与信息学报, 2024, 46(1): 327–334. doi: [10.11999/JEIT221593](https://doi.org/10.11999/JEIT221593).
- DU Xiaoni, ZHENG Ya'nian, LIANG Lifang, et al. Meet-in-the-middle attack on RAIN-128[J]. *Journal of Electronics & Information Technology*, 2024, 46(1): 327–334. doi: [10.11999/JEIT221593](https://doi.org/10.11999/JEIT221593).
- [4] 李超, 孙兵, 李瑞林. 分组密码的攻击方法与实例分析[M]. 北京: 科学出版社, 2010. (查阅网上资料, 未找到本条文献页码信息, 请确认).
- LI Chao, SUN Bing, and LI Ruilin. Attack Method of Block Cipher and Case Analysis[M]. Beijing: Science Press, 2010. (查阅网上资料, 未找到对应的英文翻译, 请确认).
- [5] 蒋梓龙, 金晨辉. Saturnin算法的不可能差分分析[J]. 通信学报, 2022, 43(3): 53–62. doi: [10.11959/j.issn.1000-436x.2022045](https://doi.org/10.11959/j.issn.1000-436x.2022045).
- JIANG Zilong and JIN Chenhui. Impossible differential cryptanalysis of Saturnin algorithm[J]. *Journal on Communications*, 2022, 43(3): 53–62. doi: [10.11959/j.issn.1000-436x.2022045](https://doi.org/10.11959/j.issn.1000-436x.2022045).
- [6] DIFFIE W and HELLMAN M. Special feature exhaustive cryptanalysis of the NBS data encryption standard[J]. *Computer*, 1977, 10(6): 74–84. doi: [10.1109/C-M.1977.217750](https://doi.org/10.1109/C-M.1977.217750).

- [7] DUNKELMAN O, KELLER N, and SHAMIR A. Improved single-key attacks on 8-round AES-192 and AES-256[C]. Proceedings of the 16th International Conference on the Theory and Application of Cryptology and Information Security, Singapore, 2010: 158–176. doi: [10.1007/978-3-642-17373-8\\_10](https://doi.org/10.1007/978-3-642-17373-8_10).
- [8] SHI Danping, SUN Siwei, DERBEZ P, *et al.* Programming the Demirci-Selçuk meet-in-the-middle attack with constraints[C]. Proceedings of the 24th International Conference on the Theory and Application of Cryptology and Information Security, Brisbane, Australia, 2018: 3–34. doi: [10.1007/978-3-030-03329-3\\_1](https://doi.org/10.1007/978-3-030-03329-3_1).
- [9] 任炯炯, 侯泽洲, 李曼曼, 等. 改进的减轮MIBS-80密码的中间相遇攻击[J]. 电子与信息学报, 2022, 44(8): 2914–2923. doi: [10.11999/JEIT210441](https://doi.org/10.11999/JEIT210441).  
REN Jiongjiong, HOU Zezhou, LI Manman, *et al.* Improved meet-in-the-middle attacks on reduced-round MIBS-80 cipher[J]. *Journal of Electronics & Information Technology*, 2022, 44(8): 2914–2923. doi: [10.11999/JEIT210441](https://doi.org/10.11999/JEIT210441).
- [10] BIRYUKOV A, DERBEZ P, and PERRIN L. Differential analysis and meet-in-the-middle attack against round-reduced TWINE[C]. Proceedings of the 22nd International Workshop on Fast Software Encryption, Istanbul, Turkey, 2015: 3–27. doi: [10.1007/978-3-662-48116-5\\_1](https://doi.org/10.1007/978-3-662-48116-5_1).
- [11] LI Manman and CHEN Shaozhen. Improved meet-in-the-middle attacks on reduced-round Joltik-BC[J]. *IET Information Security*, 2021, 15(3): 247–255. doi: [10.1049/ise2.12019](https://doi.org/10.1049/ise2.12019).
- [12] KANDA M, MORIAI S, AOKI K, *et al.* E2-a new 128-bit block cipher[J]. *IEICE Transactions on Fundamentals of Electronics, Communications and Computer Sciences*, 2000, E83-A(1): 48–59.
- [13] MORIAI S, SUGITA M, AOKI K, *et al.* Security of E2 against truncated differential cryptanalysis[C]. Proceedings of the 6th International Conference on Selected Areas in Cryptography, Ontario, Canada, 2000: 106–117. doi: [10.1007/3-540-46513-8\\_8](https://doi.org/10.1007/3-540-46513-8_8).(查阅网上资料,未能确认年份信息,请确认).
- [14] WEI Yuechuan, YANG Xiaoyuan, LI Chao, *et al.* Impossible differential cryptanalysis on tweaked E2[C]. Proceedings of the 6th International Conference on Network and System Security, Wuyishan, China, 2012: 392–404. doi: [10.1007/978-3-642-34601-9\\_30](https://doi.org/10.1007/978-3-642-34601-9_30).
- [15] 官翔, 魏悦川, 杨晓元. E2算法的中间相遇攻击[J]. 计算机工程与科学, 2015, 37(3): 524–528. doi: [10.3969/j.issn.1007-130X.2015.03.019](https://doi.org/10.3969/j.issn.1007-130X.2015.03.019).  
GUAN Xiang, WEI Yuechuan, and YANG Xiaoyuan. Meet-in-the-middle attacks on E2[J]. *Computer Engineering & Science*, 2015, 37(3): 524–528. doi: [10.3969/j.issn.1007-130X.2015.03.019](https://doi.org/10.3969/j.issn.1007-130X.2015.03.019).
- [16] 任炯炯, 陈少真. 11轮3D密码算法的中间相遇攻击[J]. 通信学报, 2015, 36(8): 182–191. doi: [10.11959/j.issn.1000-436x.2015131](https://doi.org/10.11959/j.issn.1000-436x.2015131).  
REN Jiongjiong and CHEN Shaozhen. Meet-in-the-middle attack on 11-round 3D cipher[J]. *Journal on Communications*, 2015, 36(8): 182–191. doi: [10.11959/j.issn.1000-436x.2015131](https://doi.org/10.11959/j.issn.1000-436x.2015131).

杜小妮: 女, 博士后, 教授, 研究方向为应用密码学.

孙 瑞: 女, 硕士生, 研究方向为应用密码学.

郑亚楠: 女, 硕士生, 研究方向为应用密码学.

梁丽芳: 女, 博士生, 研究方向为应用密码学.

责任编辑: 马秀强